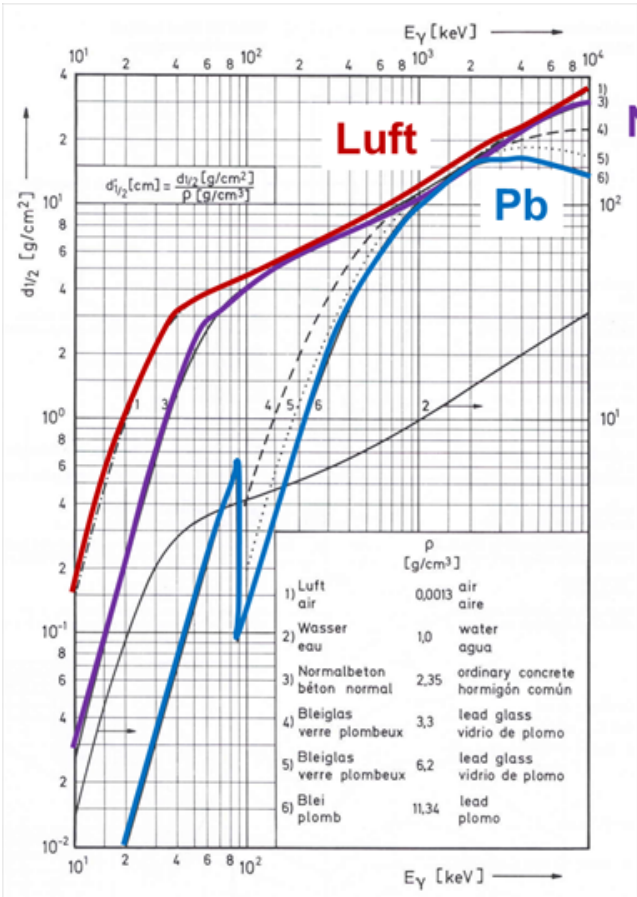


Aus Loveland Modern Nuclear Chemistry

Gamma Strahlung

- Durchdringend
- Pb zur Abschirmung
- Energieabhängigkeit
- Materialabhängigkeit
- exp. Schwächung
-
-



Normalbeton

Halbwertsdicke
für γ -Strahler
Einheit g/cm²(!)

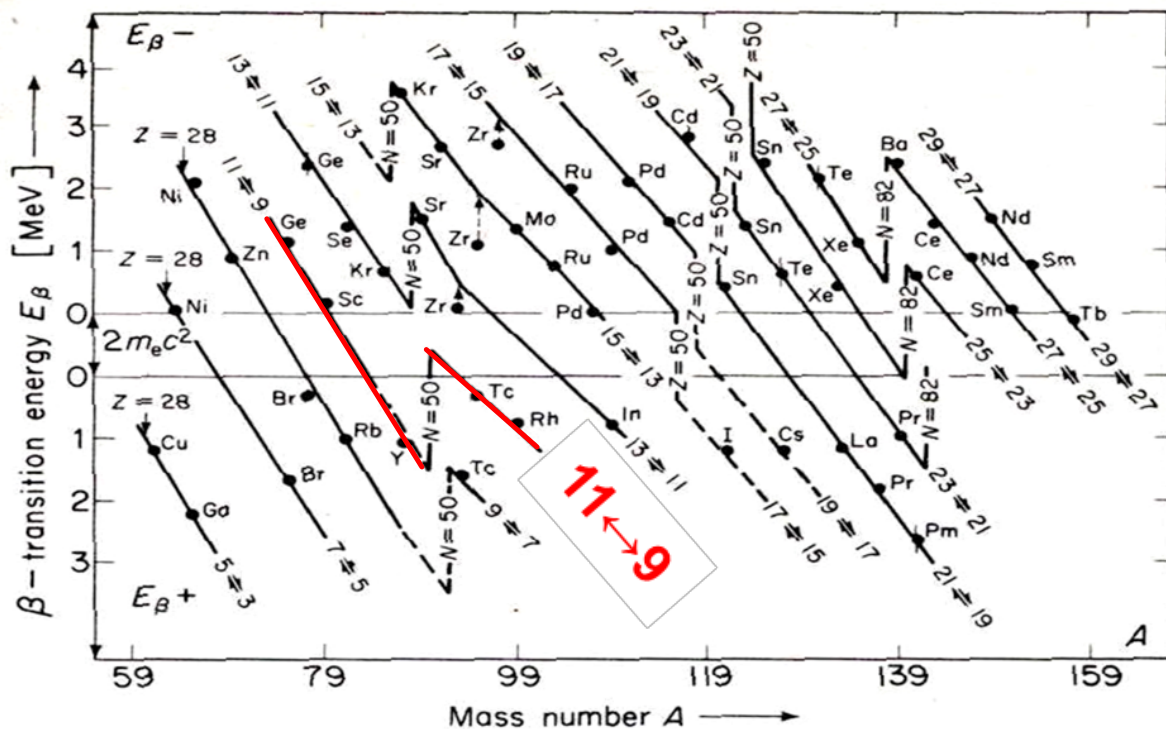
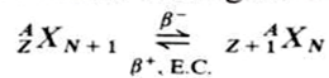


Fig. 15-17. Plot of the β -transition energy for nuclei in the region $28 \leq Z \leq 64$ which have the same neutron excess and which undergo the decay process



with Z and N even. (From [May 55].) (Used by permission of Wiley and Sons, New York.)

Das Schalenmodell des **Atoms**

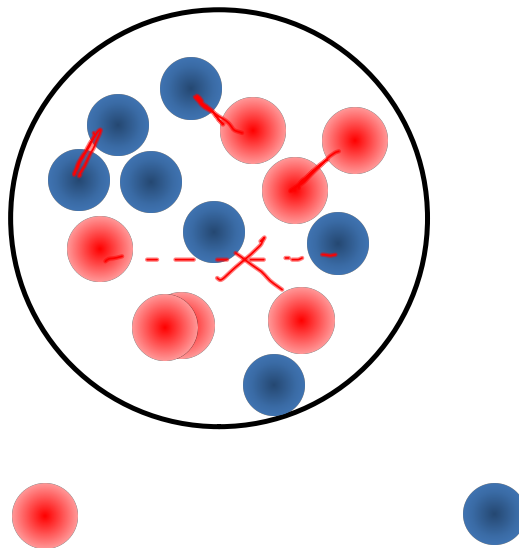
$$H = \sum_{i=1}^Z T_i + \sum_{i=1}^Z V_C(r_i) + \sum_{\substack{i,j=1 \\ i \neq j}}^Z V_{ij}(|\vec{r}_i - \vec{r}_j|)$$

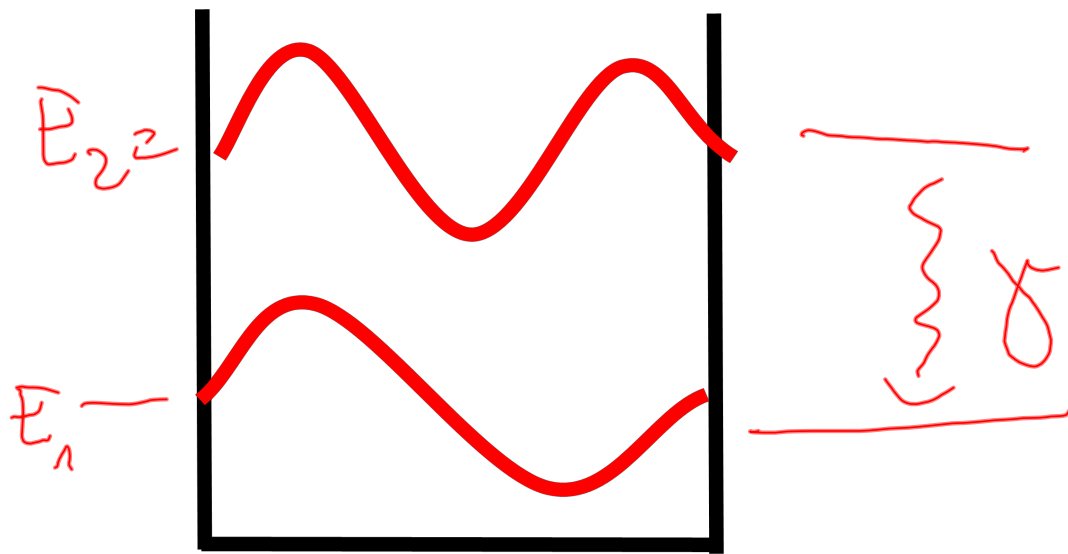
$$T_i = -\frac{h^2}{2m_i} \Delta_i \quad \text{kinetische Energie}$$

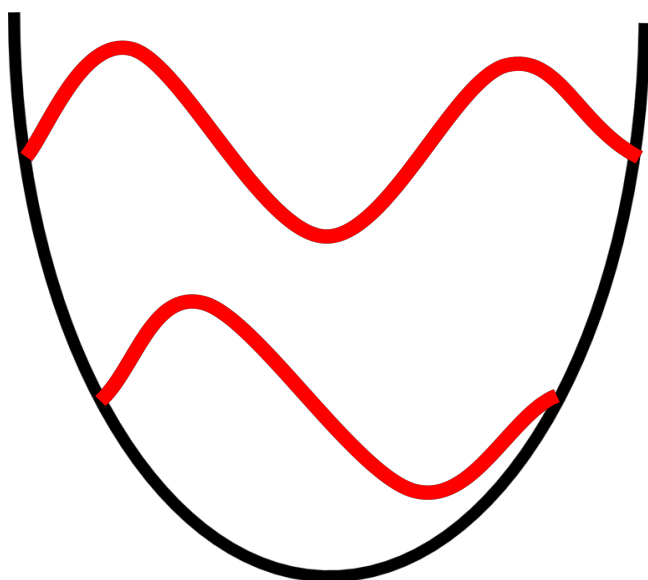
V_C Zentralpotential, Coulombpotential

$V_{i,j}$ Wechselwirkungspotential

SK Potential







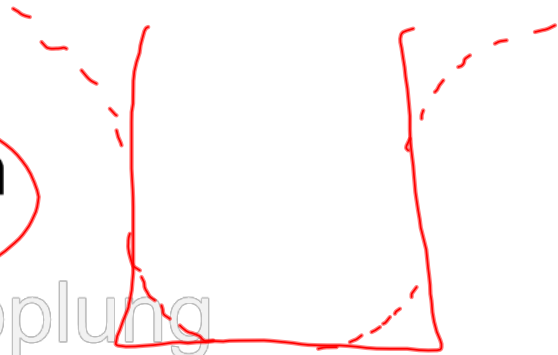
Schalenmodell

- Selbstkonsistentes Potential
 - Oszillator
 - Rechteck
 - Woods Saxon
- Spin Orbit Kopplung
- Deformation (Nilsson-Modell)

Schalenmodell

■ Selbstkonsistentes Potential

- Oszillator
- Rechteck
- Woods Saxon



■ Spin Orbit Kopplung

■ Deformation (Nilsson-Modell)

Schalenmodell

- Selbstkonsistentes Potential
 - Oszillator
 - Rechteck
 - Woods Saxon
- Spin Orbit Kopplung
- Deformation (Nilsson-Modell)

Deformation



prolat

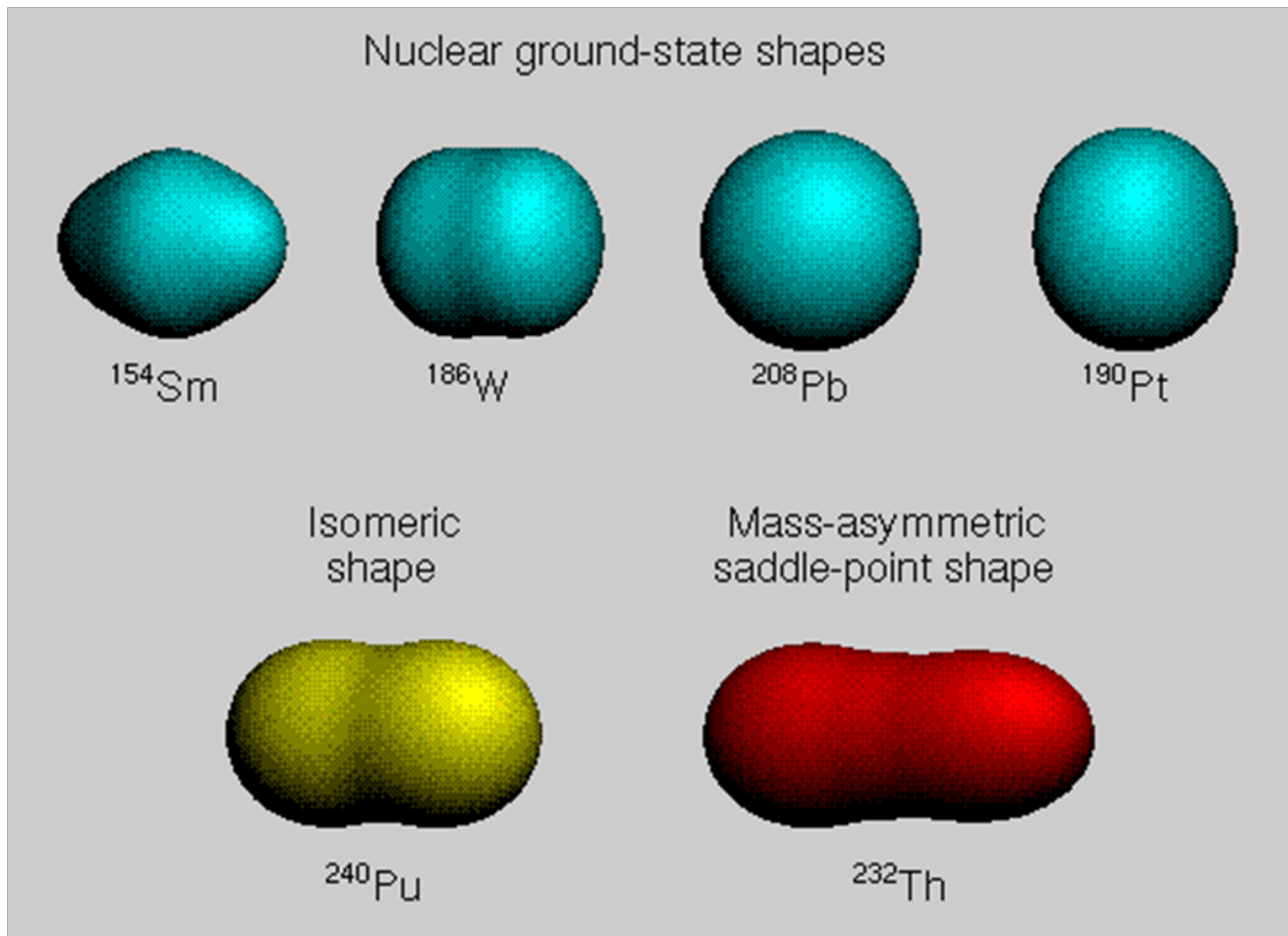


oblat

Schalenmodell

- Selbstkonsistentes Potential
 - Oszillator
 - Rechteck
 - Woods Saxon
- Spin Orbit Kopplung
- Deformation (Nilsson-Modell)

Grundzustandsformen von Kernen



<http://radchem.nevada.edu/classes/rdch702/images/nuclear%20shapes.gif>